

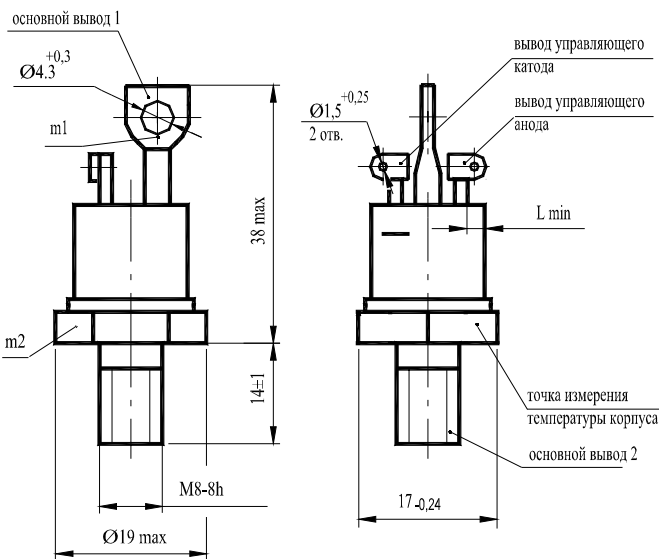
ОПТОТРИАКИ

TCO132-25, TCO132-40

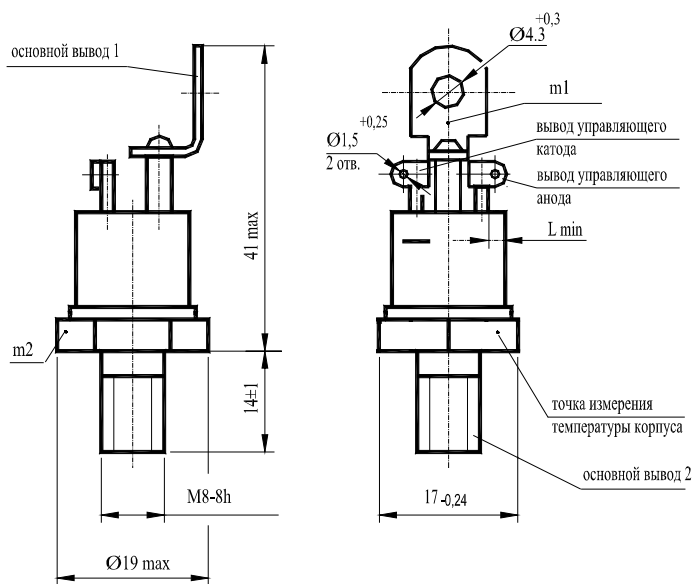


Конструкция оптотриаков

Вариант I



Вариант II



m1, m2 - контрольные точки измерения импульсного напряжения в открытом состоянии;
 $L_{min} = 2,26$ мм - длина пути для тока утечки между основным выводом 2 и выводом управляющего электрода.

Механические параметры

| Наименование, единица измерения | Тип оптотриака | |
|---------------------------------|------------------------------------|----------------|
| | TCO132-25 | TCO132-40 |
| Масса оптотриака, г, не более | 25,5 | |
| Растягивающая сила, Н | для основного вывода 1 | $39,2 \pm 4,0$ |
| | для выводов управляющего электрода | $9,8 \pm 0,1$ |
| Крутящий момент, Нм | для основного вывода 2 | $5,6 \pm 0,6$ |

Параметры закрытого состояния

| Обозначение параметра | Наименование, единица измерения | Тип оптотриака | | Условия установления норм на параметры |
|-----------------------|--|---|--------------------------------|---|
| | | TCO132-25 | TCO132-40 | |
| U_{DRM} | Повторяющееся импульсное напряжение в закрытом состоянии, В, для класса: | | | $T_{jm} = 100 \text{ }^{\circ}\text{C}$, Импульс напряжения синусоидальный, однополупериодный, $t_{i\max} = 10 \text{ мс}, f = 50 \text{ Гц}$ |
| | 2 4 5 6 8 9 10 11 12 | 200 400 500 600 800 900 1000 1100 1200 | | |
| U_{DSM} | Неповторяющееся импульсное напряжение в закрытом состоянии, В, для класса: | | | $T_{jm} = 100 \text{ }^{\circ}\text{C}$, Импульс напряжения синусоидальный, одиночный, однополупериодный, $t_{i\max} = 10 \text{ мс}$ |
| | 2 4 5 6 8 9 10 11 12 | 220 450 560 670 890 1000 1100 1200 1300 | | |
| U_D | Постоянное напряжение в закрытом состоянии, В | $0,6U_{DRM}$ | | $T_c = 70 \text{ }^{\circ}\text{C}$ |
| U_{DWM} | Импульсное рабочее напряжение в закрытом состоянии, В | $0,8U_{DRM}$ | | $T_{jm} = 100 \text{ }^{\circ}\text{C}$, Импульс напряжения синусоидальный, однополупериодный, $t_{i\max} = 10 \text{ мс}, f = 50 \text{ Гц}$ |
| $(dU_D/dt)_{com}$ | Критическая скорость нарастания коммутационного напряжения, В/мкс, не менее, для группы: | | | $T_{jm} = 100 \text{ }^{\circ}\text{C}$, $U_D = 0,67U_{DRM}$, $I_T = I_{TRMSM}$ $(di/dt)_f = 0,008 \text{ А/мкс}$ для TCO132-25, $(di/dt)_f = 0,013 \text{ А/мкс}$ для TCO132-40 Длительность напряжения в закрытом состоянии на уровне 0,9 от амплитудного значения 250 мкс. Режим цепи управления: форма произвольная, $U_{Gmax} = 3,5 \text{ В}$ (при подключенным оптотриаке), $t_{Gmax} = 1 \text{ мс}$, длительность фронта не нормируется |
| I_{DRM} | Повторяющийся импульсный ток в закрытом состоянии, мА, не более | 0 | не нормируется , но не менее 1 | |
| | | 1 2 3 4 5 | 2,5 4,0 6,3 10 16 | $T_j = 25 \text{ }^{\circ}\text{C}$, $U_D = U_{DRM}$ |
| | | | 1,8 | $T_{jm} = 100 \text{ }^{\circ}\text{C}$, $U_D = U_{DRM}$ |
| | | | 5,0 | |

Параметры открытого состояния

| Обозначение параметра | Наименование, единица измерения | Тип оптотриака | | Условия установления норм на параметры |
|-----------------------|--|----------------|-----------|---|
| | | TCO132-25 | TCO132-40 | |
| I_{TRMSM} | Максимально допустимый действующий ток в открытом состоянии, А | 25 | 40 | $T_c = 70^\circ\text{C}$, импульс тока синусоидальный, $f = 50 \text{ Гц}$ |
| I_{TSM} | Ударный ток в открытом состоянии, А | 220 | 330 | $T_j = 25^\circ\text{C}$ |
| | | 200 | 300 | $U_D = 0$ $T_{jm} = 100^\circ\text{C}$ Импульс тока синусоидальный, одиночный, $t_i = 20 \text{ мкс}$. Режим цепи управления: импульс тока трапецидальный, $I_G = 500 \text{ мА}$, $t_G = 100 \text{ мкс}$, длительность фронта 10 мкс, сопротивление источника управления не более 20 Ом |
| U_{TM} | Импульсное напряжение в открытом состоянии, В, не более | 1,75 | 1,55 | $T_j = 25^\circ\text{C}$, $I_T = 1,41I_{TRMSM}$ |
| $U_{T(то)}$ | Пороговое напряжение в открытом состоянии, В | 0,9 | | $T_{jm} = 100^\circ\text{C}$ |
| r_T | Динамическое сопротивление в открытом состоянии, Ом | 0,024 | 0,012 | $T_{jm} = 100^\circ\text{C}$ |
| I_H | Ток удержания, мА, не более | 10 | | $T_j = 25^\circ\text{C}$, $U_D = 12 \text{ В}$ |
| I_L | Ток включения, мА, не более | 25 | | $T_j = 25^\circ\text{C}$, $U_D = 12 \text{ В}$ Режим цепи управления: импульс тока трапецидальный, $I_G = 500 \text{ мА}$, $t_G = 100 \text{ мкс}$, длительность фронта не более 0,5 мкс, сопротивление источника управления не более 50 Ом |
| I_{TRMS} | Действующий ток в открытом состоянии, А | 16 | 20 | $T_a = 40^\circ\text{C}$, естественное охлаждение, охладитель OP131-80 |

Параметры гальванической развязки

| Обозначение параметра | Наименование, единица измерения | Тип оптотриака | | Условия установления норм на параметры |
|-----------------------|--|----------------|-----------|--|
| | | TCO132-25 | TCO132-40 | |
| U_{IG} | Электрическая прочность изоляции между основными выводами и выводами управляющего электрода, В, действующее значение | 2000 | | Напряжение синусоидальное, $f = 50 \text{ Гц}$. Длительность приложения напряжения 60 с. Нормальные климатические условия |
| R_{IG} | Сопротивление изоляции между основными выводами и выводами управляющего электрода, МОм, не менее | 10 | | $U_{IG} = 1000 \text{ В}$ При нормальных климатических условиях |
| | | 1 | | $U_{IG} = 1000 \text{ В}$ При повышенной влажности воздуха (более 80%) |

Параметры переключения

| Обозначение параметра | Наименование, единица измерения | Тип оптотриака | | Условия установления норм на параметры |
|-----------------------|--|----------------|-----------|---|
| | | TCO132-25 | TCO132-40 | |
| $(di_T/dt)_{crit}$ | Критическая скорость нарастания тока в открытом состоянии, А/мкс, не менее | | 6,3 | $T_{j_m} = 100 \text{ }^{\circ}\text{C}$, $U_D = 0,67U_{DRM}$, $I_T = 2 I_{TRMSM}$, $f = 1-5 \text{ Гц}$ Режим цепи управления: импульс тока трапецидальный, $I_G = (500 \pm 25) \text{ мА}$, $t_G = 100-200 \text{ мс}$, $(di_G/dt)_f = 1 \text{ А/мкс}$, сопротивление источника управления не более 20 Ом |
| t_{gt} | Время включения, мкс, не более | | 16 | $T_j = 25 \text{ }^{\circ}\text{C}$, $U_D = 100 \text{ В}$, $I_T = I_{TRMSM}$, Режим цепи управления: импульс тока трапецидальный, $I_G = 500 \text{ мА}$, $t_G = 100 \text{ мкс}$, длительность фронта не более 0,5 мкс, сопротивление источника управления не более 50 Ом |
| t_{gd} | Время задержки, мкс, не более | | 6 | |

Параметры управления

| Обозначение параметра | Наименование, единица измерения | Тип оптотриака | | Условия установления норм на параметры |
|-----------------------|--|----------------|-----------|--|
| | | TCO132-25 | TCO132-40 | |
| U_{GT} | Отпирающее постоянное напряжение управления, В, не более (для приборов с индексом "A") | | 1,8 | $T_j = 25 \text{ }^{\circ}\text{C}$, $U_D = 12 \text{ В}$ |
| I_{GT} | Отпирающий постоянный ток управления, мА, не более (для приборов с индексом "A") | | 80 | $T_j = 25 \text{ }^{\circ}\text{C}$, $U_D = 12 \text{ В}$ |
| $I_{GT\ max}$ | Максимально допустимый постоянный ток управления, мА (для приборов с индексом "A") | | 100 | $T_j = 25 \text{ }^{\circ}\text{C}$, $U_D = 12 \text{ В}$ |
| U_{GTM} | Отпирающее импульсное напряжение управления, В, не более | 3,5 | | $T_j = \text{минус } 50 \text{ }^{\circ}\text{C}$ |
| | | 2,5 | | $T_j = \text{минус } 10 \text{ }^{\circ}\text{C}$ |
| | | 2,0 | | $T_j = 25 \text{ }^{\circ}\text{C}$, $U_D = 12 \text{ В}$ Режим цепи управления: форма - трапецидальная, $t_G = 100 \text{ мкс}$ |
| I_{GTM} | Отпирающий импульсный ток управления, мА, не более | 600 | | $T_j = \text{минус } 50 \text{ }^{\circ}\text{C}$ |
| | | 400 | | $T_j = \text{минус } 10 \text{ }^{\circ}\text{C}$ |
| | | 250 | | $T_j = 25 \text{ }^{\circ}\text{C}$, $t_i = 100 \text{ мкс}$ |
| $I_{GTM\ max}$ | Максимально допустимый импульсный ток управления, мА | | 700 | $t_i = 100 \text{ мкс}$, скважность k = 10 |
| U_{gd} | Неотпирающее напряжение управления, В, не менее | | 0,8 | $T_j = 100 \text{ }^{\circ}\text{C}$, $U_D = 0,67U_{DRM}$ Режим цепи управления: форма - трапецидальная, $t_G = 100 \text{ мкс}$ |

Тепловые параметры

| Обозначение параметра | Наименование, единица измерения | Тип оптотриака | | Условия установления норм на параметры |
|-----------------------|---|-----------------------------------|-----------|--|
| | | TCO132-25 | TCO132-40 | |
| T_{jm} | Максимально допустимая температура перехода, °C | 100 | | |
| T_{jmin} | Минимально допустимая температура перехода, °C | минус 50 (минус 60 для УХЛ2.1) | | |
| $T_{stg\ m}$ | Максимально допустимая температура хранения, °C | 40 (50 для T3) | | |
| $T_{stg\ min}$ | Минимально допустимая температура перехода, °C | минус 50 | | |
| R_{thjc} | Тепловое сопротивление переход - корпус, °C/Bt, не более | 0,75 | 0,52 | Постоянный ток |
| R_{thch} | Тепловое сопротивление корпус - охладитель, °C/Bt, не более | 0,20 | | Естественное охлаждение. Охладитель OP131-80. |
| R_{thja} | Тепловое сопротивление переход - среда (с охладителем), °C/Bt, не более | 3,07 | 2,84 | Постоянный ток. |

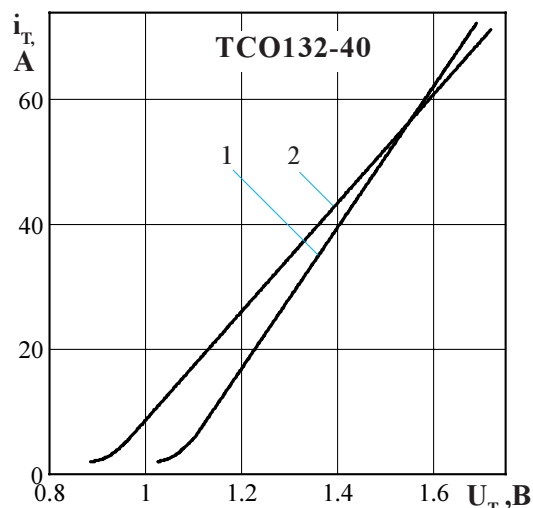
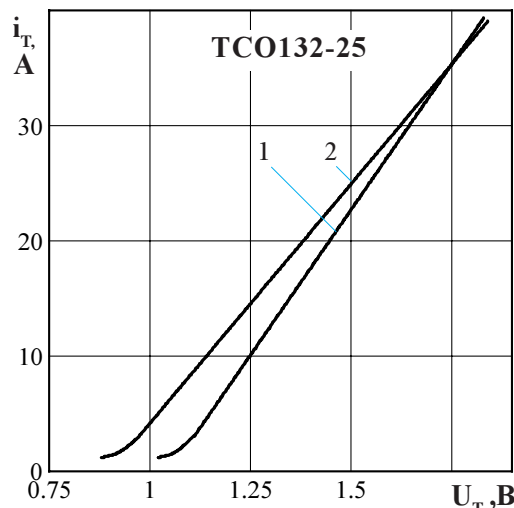


Рисунок 1 - Пределная вольтамперная характеристика в открытом состоянии при температуре перехода 25 °C (1) и максимальной температуре перехода T_{jm} (2) $I_T = 1,41I_{TRMS}$

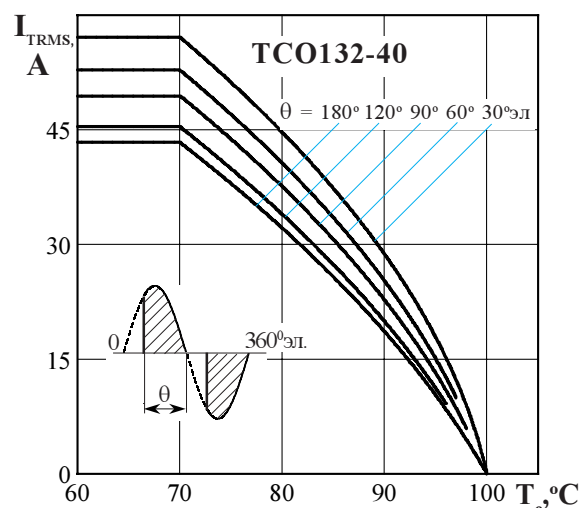
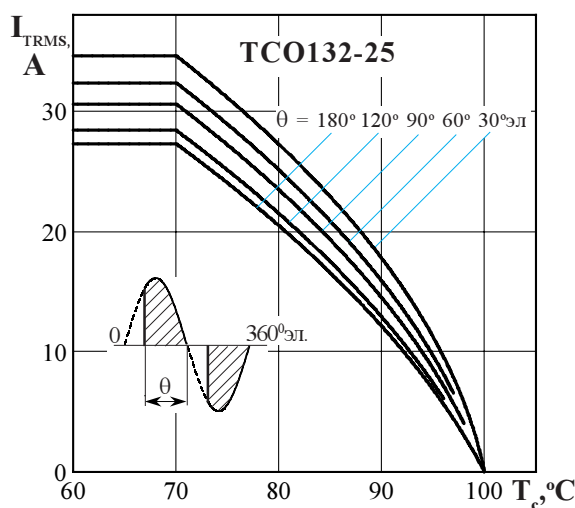


Рисунок 2 - Зависимость допустимого действующего тока в открытом состоянии I_{TRMS} от температуры корпуса T_c для токов синусоидальной формы частотой $f = 50$ Гц

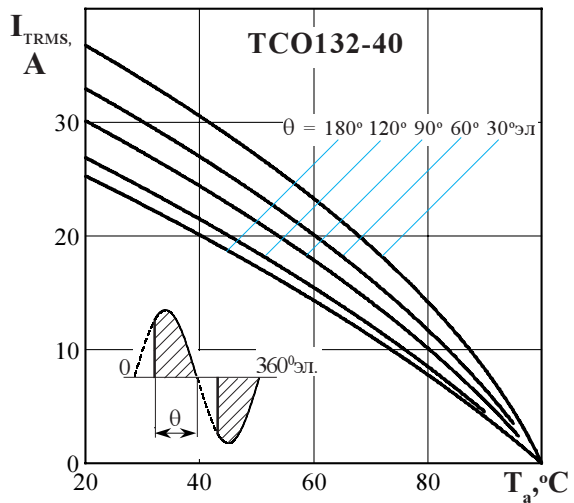
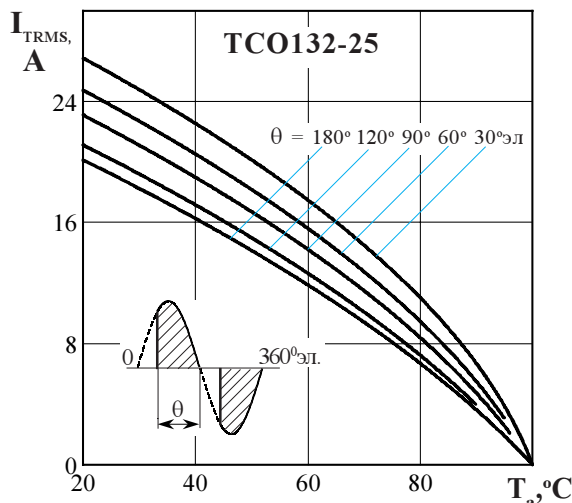


Рисунок 3 - Зависимость допустимого действующего тока в открытом состоянии I_{TRMS} от температуры окружающей среды T_a при естественном охлаждении на типовом охладителе при различных углах проводимости

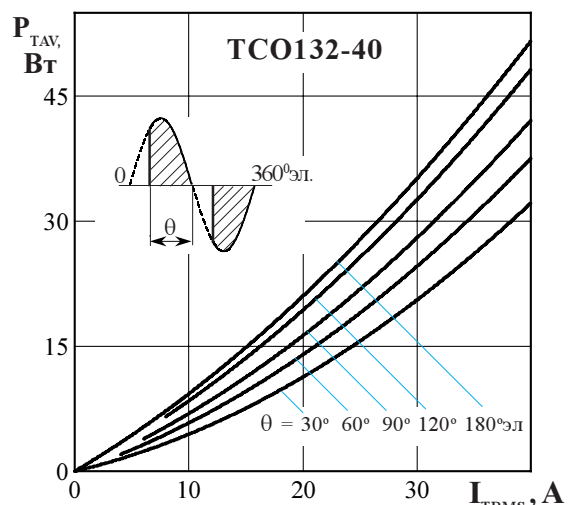
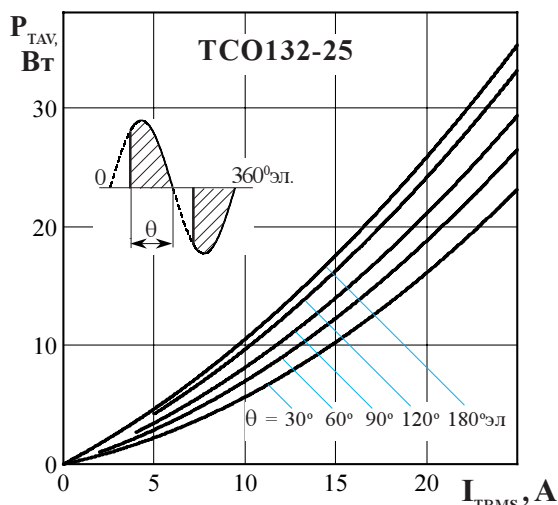


Рисунок 4 - Зависимость средней мощности потерь P_{TAV} от действующего значения тока I_{TRMS} в открытом состоянии синусоидальной формы частотой $f = 50$ Гц

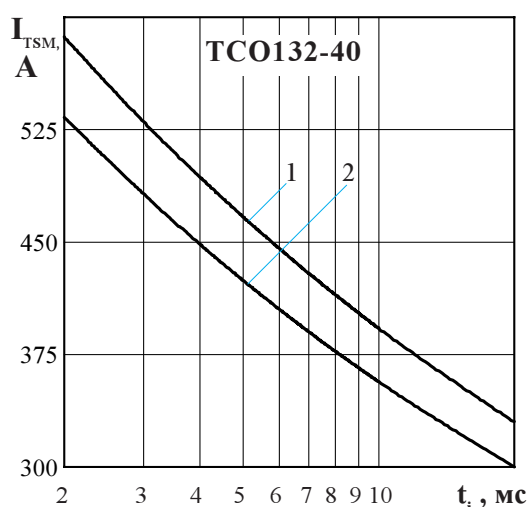
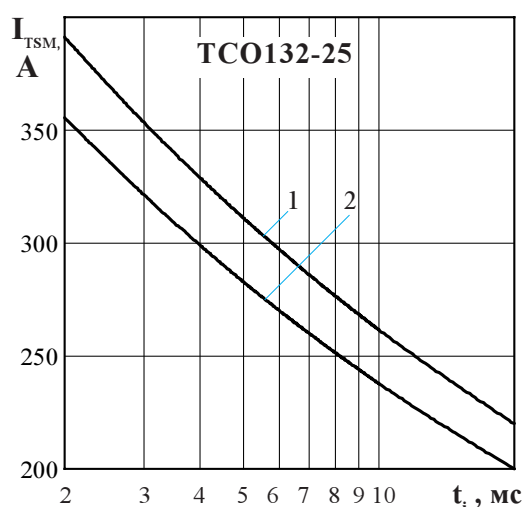


Рисунок 5 - Зависимость допустимой амплитуды ударного тока в открытом состоянии I_{TSM} от длительности импульса тока t_i при исходной температуре структуры $T_j = 25$ °C (1) и максимальной температуре T_{jm} (2)

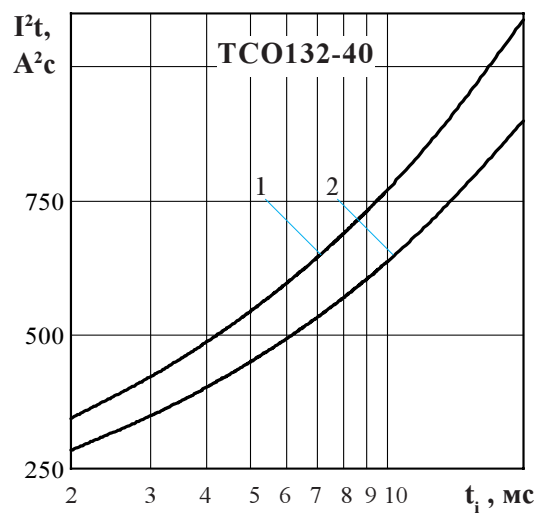
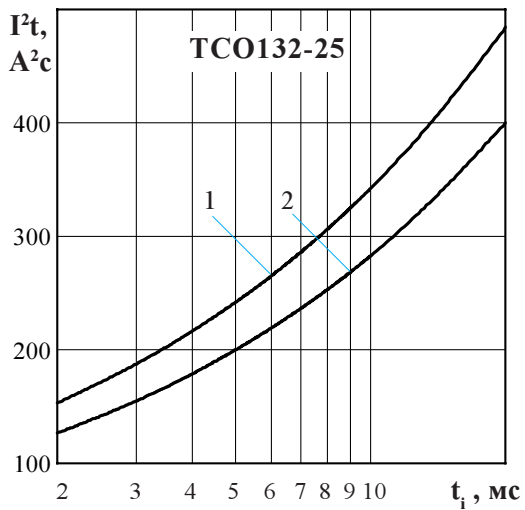


Рисунок 6 - Зависимость защитного показателя I^2t от длительности импульса тока t_i при исходной температуре структуры $T_j = 25^\circ\text{C}$ (1) и максимальной температуре T_{jm} (2)

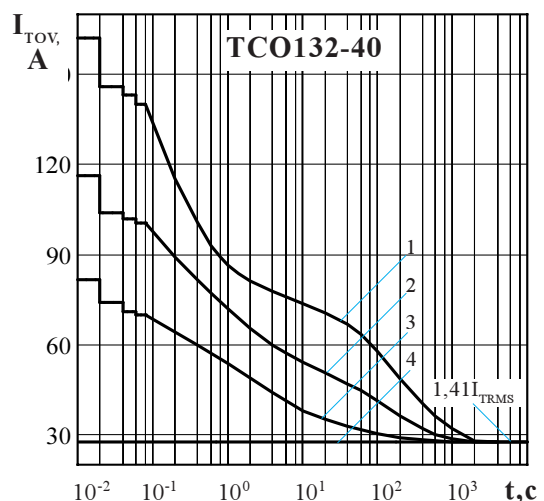
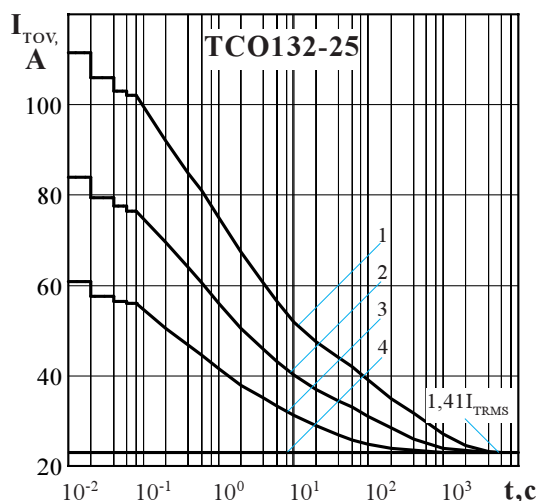


Рисунок 7 - Зависимость допустимой амплитуды тока перегрузки в открытом состоянии I_{TOV} синусоидальной формы частотой $f = 50$ Гц от длительности перегрузки t при естественном охлаждении на типовом охладителе при отношении тока, предшествующего перегрузке, I_T к допустимому действующему току триака I_{TRMS} равному $k = I_T / I_{TRMS}$; $k = 0$ (1); 0,5 (2); 0,75 (3); 1,0 (4).

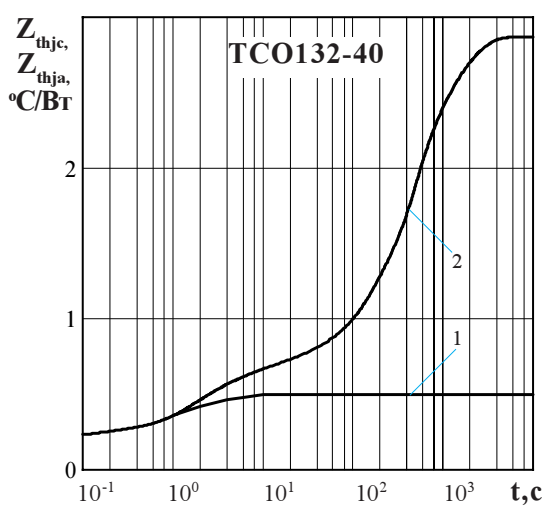
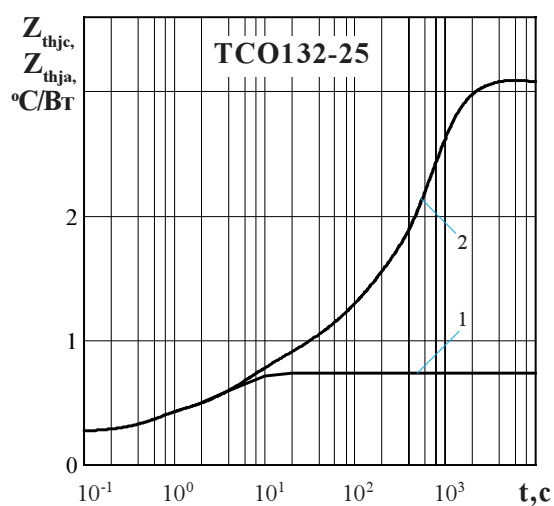


Рисунок 8 - Зависимость переходного теплового сопротивления переход - корпус Z_{thjc} (1) и переход- среда Z_{thja} (2) от времени t при естественном охлаждении на типовом охладителе при температуре окружающей среды $T_a = 40^\circ\text{C}$.

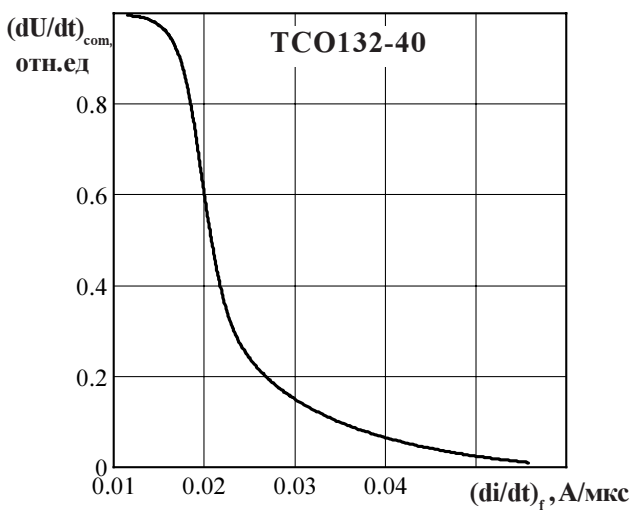
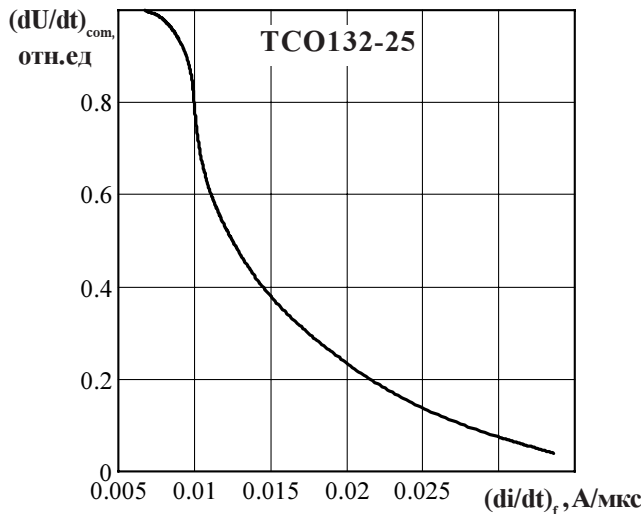


Рисунок 9 - Зависимость критической величины скорости нарастания коммутационного напряжения $(dU/dt)_{com}$ от скорости спада предшествующего тока в открытом состоянии $(di_T/dt)_f$ при амплитуде предшествующего тока в открытом состоянии $I_T = I_{TRMS M}$ и максимально допустимой температуре перехода T_{jm} .